

## 4 Método Vertical

Neste capítulo, apresentamos o método vertical para redução do tamanho de uma prova proposicional. Resumidamente, este método procura por similaridades na prova e as substitui por uma nova variável que não aparece na prova.

O que queremos dizer por similaridades e, como identificá-las, é assunto da primeira seção deste capítulo.

Na segunda seção, apresentamos o método. Na terceira seção apresentamos o resultado principal do capítulo.

Na quarta seção apresentamos uma alternativa para aplicar este método a provas combinatoriais.

### 4.1 Definições

**Definição 4.1 (Fórmulas  $U$ -similares)** Dizemos que duas fórmulas proposicionais,  $H_1$  e  $H_2$  onde  $V(H_1) \subseteq V(H_2)$ , são  $U$ -similares se e somente se

1.  $|H_1| = 1$  (ou  $|H_2| = 1$ ). Neste caso, dizemos que o conjunto de  $U$ -axiomas de  $H_1$  e  $H_2$  é o conjunto unitário  $\{H_1 \leftrightarrow H_2\}$ , e
2.  $H_1 = h_1^1 \square h_2^1$  e  $H_2 = h_1^2 \diamond h_2^2$  com  $\square \equiv \diamond$ ,  $h_1^1$  é  $U$ -similar a  $h_1^2$  (ou  $h_2^1$  é  $U$ -similar a  $h_2^2$ ). Neste caso o conjunto de  $U$ -axiomas de  $H_1$  e  $H_2$  é o conjunto  $U_1 \cup U_2$  onde  $U_1$  é o conjunto de  $U$ -axiomas de  $h_1^1$  e  $h_2^1$  e  $U_2$  é o conjunto de  $U$ -axiomas de  $h_1^2$  e  $h_2^2$ .

**Observação 4.2** 1. Note que não consideramos o conectivo unário  $\neg$  na definição acima. Este conectivo receberá uma atenção especial futuramente.

2. Se  $H_1$  e  $H_2$  são  $U$ -similares, então os primeiros  $k$  conectivos binários das duas fórmulas são iguais.
3. Não necessariamente  $|H_1| = |H_2|$ .
4. Sem perda de generalidade, consideraremos que o lado esquerdo de cada elemento do conjunto de  $U$ -axiomas é atômico.

**Definição 4.3 (Grau de U-axioma)** Seja  $U = \{h_1, \dots, h_n\}$  o conjunto de U-axiomas de  $H_1$  e  $H_2$ . Definimos o grau de  $U$ , denotado por  $\text{deg}(U)$ , por

$$\text{deg}(U) = |1 - \min\{|h_i|; i \in 1 \dots n\}|$$

**Exemplo 4.4** Considere as seguintes fórmulas proposicionais  $H_1$  e  $H_2$ .

$H_1 =$

$$\begin{aligned} & (p_{00} \wedge p_{10}) \vee (p_{00} \wedge p_{20}) \vee (p_{00} \wedge p_{30}) \vee (p_{01} \wedge p_{11}) \vee (p_{01} \wedge p_{21}) \vee (p_{01} \wedge p_{31}) \vee \\ & (p_{02} \wedge p_{12}) \vee (p_{02} \wedge p_{22}) \vee (p_{02} \wedge p_{32}) \vee (p_{10} \wedge p_{20}) \vee (p_{10} \wedge p_{30}) \vee (p_{11} \wedge p_{21}) \vee \\ & (p_{11} \wedge p_{31}) \vee (p_{12} \wedge p_{22}) \vee (p_{13} \wedge p_{32}) \vee (p_{20} \wedge p_{30}) \vee (p_{21} \wedge p_{31}) \vee (p_{22} \wedge p_{32}) \end{aligned}$$

$$\begin{aligned} H_2 = & \{[(p_{00} \vee (p_{02} \wedge p_{20})) \wedge (p_{10} \vee (p_{12} \wedge p_{20}))] \vee \\ & [(p_{00} \vee (p_{02} \wedge p_{20})) \wedge (p_{20} \vee (p_{22} \wedge p_{20}))] \vee \\ & [(p_{01} \vee (p_{02} \wedge p_{21})) \wedge (p_{11} \vee (p_{12} \wedge p_{21}))] \vee \\ & [(p_{00} \vee (p_{02} \wedge p_{20})) \wedge (p_{10} \vee (p_{12} \wedge p_{20}))] \vee \\ & [(p_{10} \vee (p_{12} \wedge p_{20})) \wedge (p_{20} \vee (p_{22} \wedge p_{20}))] \vee \\ & [(p_{11} \vee (p_{12} \wedge p_{21})) \wedge (p_{21} \vee (p_{22} \wedge p_{21}))]\} \end{aligned}$$

Temos que  $p_{00}$  é U-similar a  $p_{00} \vee (p_{02} \wedge p_{20})$ ,  $p_{10}$  é U-similar a  $p_{10} \vee (p_{12} \wedge p_{20})$  e assim por diante. O conjunto de U-axiomas é:

$$\begin{aligned} U = & \{p_{00} \leftrightarrow p_{00} \vee (p_{02} \wedge p_{20}), p_{10} \leftrightarrow p_{10} \vee (p_{12} \wedge p_{20}), \\ & p_{01} \leftrightarrow p_{01} \vee (p_{02} \wedge p_{21}), p_{11} \leftrightarrow p_{11} \vee (p_{12} \wedge p_{21}), \\ & p_{20} \leftrightarrow p_{20} \vee (p_{22} \wedge p_{20}), p_{21} \leftrightarrow p_{21} \vee (p_{22} \wedge p_{21})\} \end{aligned}$$

Neste exemplo  $\text{deg}(U) = |1 - 4| = 3$

Segue a definição de provas U-similares.

**Definição 4.5 (Prova U-similar)** Uma prova como a da figura 4.1 é dita U-similar se e somente se  $H_1$  e  $H_2$  forem fórmulas U-similares.

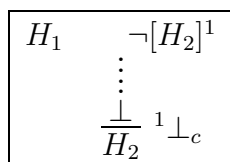


Figura 4.1: Prova  $U$ -similar

## 4.2 Método

Considere uma prova  $U$ -similar onde  $H_2$  é a premissa da  $\neg$ -introdução e  $H_1$  é a hipótese, como na figura 4.1.

Nosso método de compactação segue os quatro passos apresentados no algoritmo 2.

---

### Algorithm 2 Método Vertical

---

- 1: *Encontre* o conjunto de  $U$ -axiomas,  $U = \bigcup_{i=1}^k h_i^1 \leftrightarrow h_i^2$ , de  $H_1$  e  $H_2$ .
  - 2: *Substitua* o lado esquerdo de cada elemento do conjunto de  $U$ -axiomas  $U$  por uma nova variável, digamos  $q_i$ , criando assim um novo conjunto  $U' = \bigcup_{i=1}^k q_i \leftrightarrow h_i^2$ .
  - 3: *Substitua* cada ocorrência de  $h_1^2$  em  $H_2$  pelo  $q_i$  associado no passo anterior.
  - 4: *Construa* uma nova prova similar à anterior apenas trocando o conjunto de hipóteses  $H_2$  pelo novo conjunto  $H_2' \cup U'$ .
- 

**Lema 4.6 (Lema de Compactação)** *Seja  $\Pi$  uma prova  $U$ -similar. Então podemos transformar  $\Pi$  em uma nova prova  $\Pi'$  tal que  $|\Pi| \geq |\Pi'| + n \cdot (r - 1)$ , onde  $r$  e  $n$  são o grau do  $U$ -axioma presente e a quantidade de  $U$ -axiomas presentes em  $\Pi$ , respectivamente.*

*Prova.* Seja  $H_1$  e  $H_2$  fórmulas em  $\Pi$  que são  $U$ -similares.

Aplicando o algoritmo em  $H_1$  e  $H_2$  obtemos no terceiro passo uma nova prova  $\Pi'$  onde  $n$  de fórmulas de tamanho menor que  $r$  são substituídas por uma nova variável.

Portanto, teremos que  $|\Pi| - r \cdot n \geq |\Pi'|$ . Isto é,  $|\Pi| \geq |\Pi'| + n(r - 1)$ , como desejávamos. ■

**4.3**  
**Resultado Principal**

**Definição 4.7** Considere uma prova como na figura 4.2 tal que  $H_1$  e  $H_2$  formem um par  $U$ -similar que produza após aplicação do algoritmo 2 o conjunto de hipóteses  $H'_2 \cup U'_1$  e que também  $H'_2$  e  $H_3$  formem um par  $U$ -similar com conjunto de hipóteses  $H'_3 \cup U'_2$  produzido pelo algoritmo 2 e assim por diante, até que  $H_k$  e  $H_{k+1}$  formem um par  $U$ -similar com conjunto de hipóteses geradas pelo algoritmo 2 igual a  $H'_k \cup U'_{k-1}$ .

Uma prova  $\Pi$  na qual é possível a aplicação de  $k$   $U$ -similaridades encadeadas é denominada uma prova  $U$ -similar encadeada. O valor de  $k$  é denominado a profundidade da prova  $U$ -similar encadeada e é denotada por  $depth(\Pi)$ . Cada conclusão de uma  $\neg$ -introdução é denominada o nível da prova  $U$ -similar encadeada. Os níveis da prova  $U$ -similar encadeada serão ordenados de cima para baixo e serão denotados por  $1, 2, \dots, k$ .

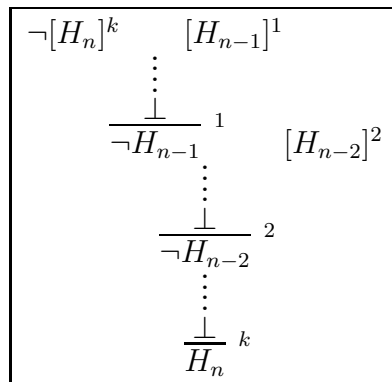


Figura 4.2: Esquema de uma prova encadeada

**Teorema 4.8 (Método Vertical Geral)** Se  $\Pi$  é uma prova  $U$ -similar encadeada com profundidade  $k$  então existe uma prova  $\Pi'$  com a mesma conclusão de  $\Pi$  tal que  $|\Pi| \geq |\Pi'| + n.k.r$  para algum  $r \in \mathbb{N}$  e  $n$  a quantidade de ocorrências de  $U$ -axiomas em  $\Pi$ .

*Prova.* Seja  $r_i$  dado por

$$r_i = \min\{deg(U'_i)\}$$

Mostraremos por indução em  $k$  que  $|\Pi| = |\Pi_k| + n \sum_{i=1}^k r_i$ . Onde  $\Pi_k$  é a  $k$ -ésima modificação de  $\Pi$  após aplicação de  $k$   $U$ -similaridades.

**Base:** Se  $k = 1$ , então estamos na condição do lema 4.6 e portanto  $|\Pi| \geq |\Pi_1| + n.(r - 1)$ .

**Passo indutivo:** Se  $depth(\Pi) = k$ . Aplicando o lema 4.6 ao primeiro nível de  $\Pi$  produzimos um novo ramo com um conjunto de hipóteses  $H'_2 \cup U'_1$  e com partes de algumas linhas sendo reduzidas a uma variável.

Estendendo as substituições de variáveis ao restante da prova obtemos uma nova prova  $\Pi_1$  tal que  $|\Pi_1| \geq |\Pi| + n_1 \cdot (r_1 - 1)$ . Onde  $n_1$  é a quantidade de ocorrências de U-axiomas no primeiro nível de  $\Pi$  e  $r_1$  o grau do U-axioma no primeiro nível de  $\Pi$ .

Pela hipótese de indução aplicada a partir do segundo nível até o final da prova  $\Pi_1$ , obteremos uma nova prova, digamos  $\Pi_k$  tal que  $|\Pi_1| \geq |\Pi_k| + n' \cdot \sum_{i=1}^{k-1} (r_i - 1)$ , onde  $n'$  é quantidade de ocorrências de U-axiomas em  $\Pi_1$  e  $r_i$  o grau do U-axiomas nos níveis de 1 a  $k - 1$ .

Portanto,  $|\Pi| \geq |\Pi_k| + n' \sum_{i=2}^k (r_i - 1) + n_1 \cdot (r_1 - 1)$ .

Para  $r = 1 + \min\{r_i, i = 1, \dots, k\}$ , temos que  $|\Pi| \geq |\Pi_k| + n \cdot k \cdot r$ , onde  $n = \sum_{i=1}^k n_i$

■

Observe que se  $n_i = n_{i-1} \cdot (r_i - 1)$ , isto é, se as aplicações de U-axiomas em cada novo nível fossem realizadas em posições previamente modificadas por outro U-axioma, teríamos que a nova prova  $\Pi_k$  seria tal que:

$$|\Pi| \geq |\Pi_k| + \sum_{i=1}^k (r_i - 1)^i \cdot n_{k-i+1}$$

Para  $r = 1 + \min\{r_i, i = 1, \dots, k\}$ , temos

$$|\Pi| \geq |\Pi_k| + \sum_{i=1}^k r^i \cdot n_{k-i+1}$$

#### Exemplo 4.9 Considere

$$P_n = \bigvee_{0 \leq i < m \leq n} \bigvee_{j=0}^{n-1} (p_{i,j} \wedge p_{m,j})$$

$$P_{n-1} = \bigvee_{0 \leq i < m \leq n-1} \bigvee_{j=0}^{n-2} (((p_{i,j} \vee (p_{i,n-1} \wedge p_{n-1,j})) \wedge (p_{m,j} \vee (p_{m,n-1} \wedge p_{n-1,j})))$$

$$P_{n-2} = \bigvee_{0 \leq i < m \leq n-2} \bigvee_{j=0}^{n-3} (((p_{i,j} \vee (p_{i,n-1} \wedge p_{n-1,j})) \vee ((p_{i,n-2} \vee (p_{i,n-1} \wedge p_{n-1,j})) \wedge (p_{n-2,j} \vee (p_{n-2,n-1} \wedge p_{n-1,j})))) \wedge$$

$$(((p_{m,j} \vee (p_{m,n-1} \wedge p_{n-1,j})) \vee ((p_{m,n-2} \vee (p_{m,n-1} \wedge p_{n-1,j})) \wedge (p_{n-2,j} \vee (p_{n-2,n-1} \wedge p_{n-1,j}))))$$

No caso em que  $n = 3$ , teríamos:

$$P_3 = (p_{00} \wedge p_{10}) \vee (p_{00} \wedge p_{20}) \vee (p_{00} \wedge p_{30}) \vee (p_{01} \wedge p_{11}) \vee (p_{01} \wedge p_{21}) \vee (p_{01} \wedge p_{31}) \vee \\ (p_{02} \wedge p_{12}) \vee (p_{02} \wedge p_{22}) \vee (p_{02} \wedge p_{32}) \vee (p_{10} \wedge p_{20}) \vee (p_{10} \wedge p_{30}) \vee (p_{11} \wedge p_{21}) \vee \\ (p_{11} \wedge p_{31}) \vee (p_{12} \wedge p_{22}) \vee (p_{13} \wedge p_{32}) \vee (p_{20} \wedge p_{30}) \vee (p_{21} \wedge p_{31}) \vee (p_{22} \wedge p_{32})$$

$$P_2 = [(p_{00} \vee (p_{02} \wedge p_{20})) \wedge (p_{01} \vee (p_{02} \wedge p_{21}))] \vee \\ [(p_{00} \vee (p_{02} \wedge p_{20})) \wedge (p_{20} \vee (p_{22} \wedge p_{20}))] \vee \\ [(p_{01} \vee (p_{02} \wedge p_{21})) \wedge (p_{11} \vee (p_{12} \wedge p_{21}))] \vee \\ [(p_{00} \vee (p_{02} \wedge p_{20})) \wedge (p_{10} \vee (p_{12} \wedge p_{20}))] \vee \\ [(p_{10} \vee (p_{12} \wedge p_{20})) \wedge (p_{20} \vee (p_{22} \wedge p_{20}))] \vee \\ [(p_{11} \vee (p_{12} \wedge p_{21})) \wedge (p_{21} \vee (p_{22} \wedge p_{21}))]$$

$$P_1 = (p_{00} \vee (p_{02} \wedge p_{20})) \vee ((p_{01} \vee (p_{02} \wedge p_{20})) \wedge (p_{10} \vee (p_{12} \wedge p_{20}))) \wedge \\ (p_{10} \vee (p_{12} \wedge p_{20})) \vee ((p_{11} \vee (p_{12} \wedge p_{21})) \wedge (p_{10} \vee (p_{12} \wedge p_{20})))$$

Um trecho de prova com a seguinte estrutura:

$$\begin{array}{c} \neg P_3 \quad [P_2] \\ \vdots \\ \frac{\perp}{\neg P_2} \quad [P_1] \\ \vdots \\ \frac{\perp}{\neg P_1} \\ \vdots \\ P_3 \end{array}$$

É reduzida a seguinte prova:

$$\begin{array}{c} \neg P_3 \quad [P'_2] \\ \vdots \\ \frac{\perp}{\neg P'_2} \quad [P''_1] \\ \vdots \\ \frac{\perp}{\neg P''_1} \\ \vdots \\ P_3 \end{array}$$

onde

$$\begin{aligned} P'_2 &= (q_{00}^1 \wedge q_{01}^1) \vee (q_{00}^1 \wedge q_{20}^1) \vee (q_{01}^1 \wedge q_{11}^1) \vee (q_{00}^1 \wedge q_{10}^1) \vee (q_{10}^1 \wedge q_{20}^1) \vee (q_{11}^1 \wedge q_{21}^1), \\ P'_1 &= (q_{00}^1 \vee (q_{01}^1 \wedge q_{10}^1)) \wedge (q_{10}^1 \vee (q_{11}^1 \wedge q_{10}^1)) \text{ e} \\ P''_1 &= (q_{00}^2 \wedge q_{10}^2). \end{aligned}$$

#### 4.4

#### Conclusão do capítulo

O método apresentado neste capítulo pode ser implementado e esta característica atende um dos quesitos que propusemos na introdução da tese.

Infelizmente conseguimos uma redução satisfatória apenas para provas que possuam aplicações encadeadas do absurdo clássico, o que restringe muito a sua utilização em um provador automático de teoremas.

A aplicação do método ao princípio das casas de pombos se mostra eficiente. Contudo já se conhece um prova polinomial de tal princípio apresentada por Cook em (Coo76) a qual serviu de guia para a construção do nosso método.

Apresentaremos a seguir uma alternativa para produzir provas curtas de princípios combinatoriais. Nesta proposta o processo de construção da regra de extensão é feito por considerar combinações de elementos de uma matriz gerada a partir de informações da fórmula que se deseja provar.

Uma vez que as informações necessárias estão presentes na fórmula que se deseja provar, o processo de construção da regra de extensão pode ser automatizado.

##### 4.4.1

#### Uma alternativa curta para provas combinatoriais

Considere uma fórmula combinatorial da forma

$$P_n \equiv \bigwedge_{i=0}^n \bigvee_{j=0}^{n-1} a_{i,j} \rightarrow \Phi \quad (4-1)$$

onde  $\Phi$  é qualquer fórmula sobre os símbolos proposicionais  $a_{ij}$

Uma forma de provar que  $P_n$  é verdadeira é supor  $\neg P_n$  e concluir  $\perp$ , isto é, provar que  $\neg P_n \rightarrow \perp$

Devido a quantidade de  $\vee$  presentes em  $P_n$ , teríamos que fazer uso de muitas regras  $\vee E$  o que tornaria a derivação de  $\neg P_n \rightarrow \perp$  bastante grande.

Se nos inspirarmos no trabalho de Cook (Coo76). Uma alternativa para reduzir a quantidade  $\vee E$  seria tentar reduzir a prova de  $P_n$  a uma prova de  $P_{n-1}$  usando axiomas auxiliares na forma de definições por extensão.

Apresentaremos a seguir um método para produzir provas curtas em Dedução Natural de princípios combinatoriais como o apresentado na fórmula 4-1.

Pretendemos reduzir  $P_n$  a  $P_{n-1}$  preservando a propriedade descrita por  $a_{ij}$ . Faremos isso eliminando da representação de  $P_n$  as fórmulas  $a_{i,j}$  com  $i = 1, \dots, n$ ,  $j$  fixo e  $a_{i,j}$  com  $j = 1, \dots, n-1$  e  $i$  fixo.

Se visualizarmos  $P_n$  como uma matriz  $n \times n-1$ , o que pretendemos é eliminar da matriz  $P_n$  uma linha e uma coluna. Na matriz abaixo optamos por eliminar a última linha e a última coluna.

$$\left( \begin{array}{cccc|c} a_{00} & a_{01} & \cdots & a_{0,n-2} & a_{0,n-1} \\ a_{10} & a_{11} & \cdots & a_{1,n-2} & a_{1,n-1} \\ \vdots & \vdots & \vdots & \vdots & \cdots \\ \hline a_{n0} & a_{n1} & \cdots & a_{n,n-2} & a_{n,n-1} \end{array} \right)$$

Os valores de  $b_{ij}$  em  $P_{n-1}$  serão herdados dos valores de  $P_n$  da seguinte maneira:

$$b_{ij} = a_{ij} \vee \gamma$$

Onde  $\neg\Phi \wedge b_{ij}$  deve deduzir  $\perp$ .

Vejamos como este procedimento se comporta na prova de  $PHP_n$ .

### $PHP_n$ com extensão

Lembrando que:

$$PHP_n \equiv \bigwedge_{i=0}^n \bigvee_{j=0}^{n-1} p_{i,j} \rightarrow \bigvee_{0 \leq i < m \leq n} \bigvee_{j=0}^n (p_{i,j} \wedge p_{m,j})$$

Queremos mostrar que:

$$\neg PHP_n \rightarrow \perp$$

E faremos isto aplicando reduções consecutivas, da seguinte forma,

$$\neg PHP_n \rightarrow \neg PHP_{n-1} \dots \neg PHP_3 \rightarrow \neg PHP_2 \equiv \neg((q_{0,0}^1 \wedge q_{1,0}^1) \rightarrow (q_{0,0}^1 \wedge q_{1,0}^1))$$

obtidas através do uso da seguinte regra de extensão:

$$q_{i,j}^n \leftrightarrow p_{i,j}, \quad q_{i,j}^k \leftrightarrow q_{i,j}^{k+1} \vee (q_{i,k}^{k+1} \wedge q_{k+1,j}^{k+1}) \quad (4-2)$$

Trabalhando com  $\neg PHP_n$  da seguinte forma:

$$PHP_n \equiv \left( \bigwedge_{i=0}^n \bigvee_{j=0}^{n-1} p_{i,j} \right) \wedge \neg \left( \bigvee_{0 \leq i < m \leq n} \bigvee_{j=0}^n (p_{i,j} \wedge p_{m,j}) \right)$$

